

運輸省 港湾技術研究所 正員 佐藤勝久
 運輸省 港湾技術研究所 正員 ○福子 勤
 新東京国際空港公司 正員 阿部洋一

1. まえがき

既設舗装の評価法として、舗装表面のたわみや曲率を用いたり、振動波の伝播速度を用いたりする非破壊試験法が最近数多く提案されてきている。この非破壊試験は、舗装を損傷することなく多くの地盤で試験が行えることを大生産特長としており、今回用いたダイナフレクトもまたニ山の特長を備えていて、舗装上の30cmずつ離れた二つの車にあわら動的たわみを短時間に計測することを目的に開発された非破壊検査機である。⁽¹⁾ このダイナフレクトを用いて空港アスファルト舗装の評価を試みたのでここに報告する。

2. ダイナフレクトのたわみとベンケルマンビーム試験のたわみの関係

従来よく用いられてきたベンケルマンビーム試験も非破壊試験の一種である。そこでダイナフレクトとベンケルマンビーム試験のたわみの相関性を調べるために、ダイナフレクトの二つのたわみのうち荷重載荷点に最も近い車のたわみ DMD (Dynalect Max. Deflection の略) と、ベンケルマンビーム試験 (輪荷重 7 ton, 接地圧 6.5 kg/cm²) のたわみ δ_B の関係をプロットしたもののが図-1 である。

この図から、両者の間に $\delta_B = 40 \times DMD$ の関係があることがわかる。また米国のユタ州でも δ_B と DMD の関係を一次式で近似してあり、その比例定数を 22 としているが、これは輪荷重や接地圧が他の国のものと異なっためで、これを弾性論で補正するとやはり約 40 という値になることが確認されている。

3. ダイナフレクトのたわみと舗装設計荷重の関係

図-2 は我が国各地の空港で測定された DMD と、その舗装の設計荷重としまして採用した航空機の脚荷重との関係を示したものである。なお図中の DMD は路面温度が約 20°C の時の測定値で、それ以外の時の測定値は 20°C の時のたわみに補正した値である。この図には、健全な舗装、かさ上げや打ち替えを必要とするようす舗装、まだかさ上げ後の舗装のほか、ユタ州で用いられている道路の基準などが含まれていて、全体的にみて一本の右下の基準線が描けるようである。つまり、この基準線で示される値よりも大きな DMD を生じる舗装は荷重の補修が必要としているものと判断され、逆に小さな DMD が生じない舗装には十分な支持力があるものと考えられる。また設計荷重が大きな舗装ほどその基準となるべき DMD が小さくなるのは、経験的事実ヒー一致している。これらのことから、空港舗装の補修時期の判断に DMD が一つの指標として利用できるものと思われる。

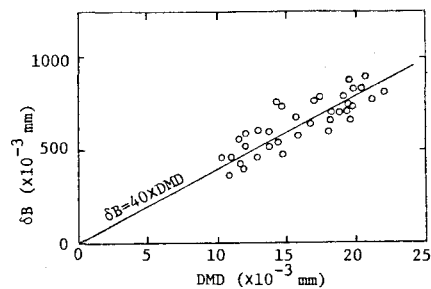


図-1 δ_B と DMD の関係

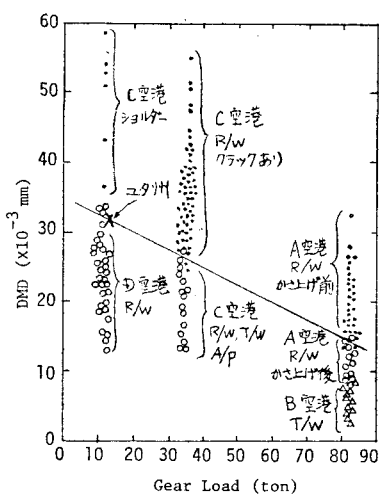


図-2 DMD と設計荷重の関係

4. 二層弾性論による舗装の弾性係数の推定

表-1 舗装構造

ダイナフレクトは舗装表面における等間隔の5箇所のたわみを与えるので、その荷重条件と舗装厚を知ることにより、舗装の弾性係数を推定することができます。これを目的とした手法として、Vaswani によって Spreadability 法、Area 法、また Swift によって圆解法などが提案されていますが、ここでは工学的意味の明確な二層弾性論を用いた。また二層問題とすれば原則として2層のたわみが既知であれば2つの弾性係数の計算が可能であるが、今回は実際のたわみ曲線をできるだけ忠実に再現できるよう、5箇所のたわみをすべて考慮し、得られた数組の弾性係数を平均して結果とした。上下層のポアソン比は 0.5 と仮定してある。

まず、表-1 のような構造をもつアスファルト舗装の上層路盤上で約1ヶ月の間隔をおいて2度測定を行ない、路盤を上層、路床を下層とおいて得られた弾性係数を図-3 に示す。なお1回目の測定時の路盤の材令は1, 2区画が約1ヶ月、3, 4区画が約2ヶ月、5~10区画が約11ヶ月である。この結果から約10ヶ月の間にほとんどの路盤の弾性係数が増加していることがわかる。これは、10種類の上層路盤がすべて潜在水硬性を持つセメント系の材料から成り、ひいて、10ヶ月間の養生によつて変形に対する抵抗性が増加したためである。一方路床の弾性係数はほぼ $2,000 \text{ kg/cm}^2$ でほとんど変化が認められない。

次に、同じ表-1 の舗装の表層上での測定結果から、表層・基層、路盤を上層、路床を下層として得られた弾性係数を、3種類の路面温度に対して図示したもののが図-4 である。この結果から区画別の上層弾性係数は、これはほぼ同時期の路盤の弾性係数を表す図-3 の破線の傾向によく似ており、さらに路面温度の低下によつてその値が増加することが認められる。また路床の弾性係数は図-3 のように一定となるべき性格のものであるが、路面温度の低下とともに若干大きくなるとして評価されていく。これは路面温度の低下とともにアスファルトユニクリート層を含む上層の弾性係数が大きくなり、それに伴なつて上層によつて拘束力が大きくなつてからこれが1つの原因として考えらる。

5. あとがき

今後さらにデータの収集をはかり、切立上げ厚設計法の確立に努めるとともに、ユニクリート舗装の解剖にも着手してみたいと考えていふ。

参考文献

1. 阿部他: 舗装の非破壊探査機—ダイナフレクト—舗装9-8, 1974, pp.16~19
2. N.K.Vaswani: HRR No.362, 1971, pp.48~62
3. N.K.Vaswani: Proc. ASCE, vol.103, No.TE1, 1977, pp.125~141
4. G.Swift: Texas Transportation Institute, Nov., 1972, 25pp.
5. F.H.Scrivner et al: HRR No.431, 1973, pp.12~24
6. 稲下他: 実験シングルマンピーム試験による舗装構造の解析、土木学会論文報告集, No.214, 1973, pp.17~25

区画	上層路盤	厚さ (cm)
1	スラグ	15
2	スラグ+3%消石灰	15
3	山砂+4%消石灰	15
4	山砂+8%消石灰	15
5	コーラル・フローリ(ながし)	25
6	" (7ラッシュ)	25
7	" (7ラッシュ)	15
8	" (ながし)	15
9	" (ながし)+2%消石灰	15
10	" (7ラッシュ)+2%消石灰	15

表層基層: アスファルトコンクリート 13cm
下層路盤: 粒度調整碎石 7cm
路床: 砂

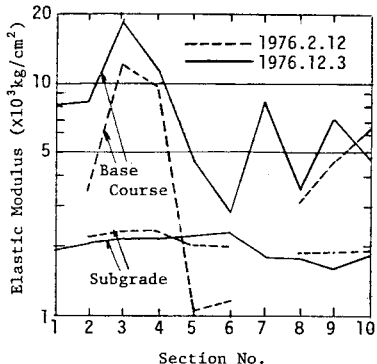


図-3 路床と路盤の弾性係数

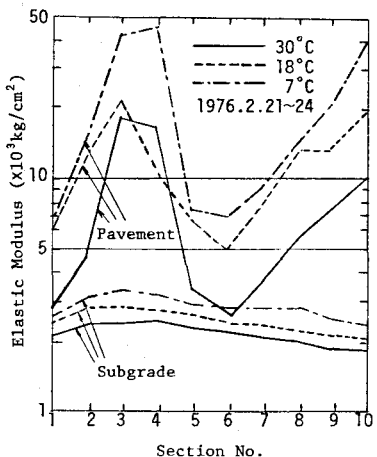


図-4 路床と表層・基層、路盤の弾性係数